

تعیین پارامترهای اندرکنش خاک حاوی دانه‌های ژئوفوم - مسلح‌کننده‌های ژئوسینتیکی

حمدی خواجه‌وند جعفری (دانشجوی کارشناسی ارشد)

هریم بزدی * (استادیار)

گروه مهندسی عمران، دانشکده فنی و مهندسی، دانشگاه آزاد اسلامی، واحد تهران مرکزی

مهمشی عمان شفیق، پهلوی (۱۴۰۰) ۱۳۹۸/۱۰/۱۰ ص. ۷۳-۷۲، دوری ۲

با توجه به افزایش استفاده از مسلح‌کننده‌های ژئوسینتیکی در مسلح‌سازی خاک، امروزه بررسی رفتار فصل مشترک خاک - ژئوسینتیک، مورد توجه پژوهشگران قرار گرفته است.

مطالعه‌ی حاضر، با هدف تعیین پارامترهای اندرکنش خاک حاوی دانه‌های ژئوفوم با مسلح‌کننده‌های ژئوسینتیکی با استفاده از دستگاه برش مستقیم بزرگ مقیاس انجام شده است. خاک استفاده شده، مخلوط ماسه‌ی ۱۶۱ فیروزکوه و دانه‌های ژئوفوم با درصد های اختلاط ۰/۴، ۰/۶ و ۰/۲ درصد وزنی خاک بوده است. مسلح‌کننده‌های استفاده شده در پژوهش حاضر، ژئوگرید، ژئوتکستایل و ژئوکامپوزیت بوده‌اند تا نتایج به دست آمده، قابل تحلیل و مقایسه‌ی بیشتری باشند. براساس نتایج به دست آمده در مخلوط‌های ماسه - ژئوفوم مسلح شده با ژئوسینتیک، بیشترین ظرفیت باربری و همچنین بالاترین ضربیه اندرکنش برای نمونه‌های مسلح شده با ژئوگرید و پس از آن، به ترتیب در نمونه‌های مسلح شده با ژئوکامپوزیت و ژئوتکستایل به دست آمده است.

واژگان کلیدی: ماسه‌ی ۱۶۱ فیروزکوه، ژئوفوم EPS، مسلح‌کننده‌ی ژئوسینتیکی، آزمایش برش مستقیم، ضربیه اندرکنش.

۱. مقدمه

دارد که فقط بین خاک و هر نوع ژئوسینتیک (ژئوتکستایل، ژئوگرید و ...) ایجاد می‌شود. در اصطکاک جانی، هم اعضاء طولی و هم اعضاء متقاطع عرضی، در مقاومت برشی ژئوگرید سهیم هستند. اصطکاک خاک با خاک، اشاره به مقاومت برشی خاک با خاک دارد که در حین انجام آزمایش برش مستقیم اتفاق می‌افتد.^[۱] برخی از پژوهشگران، در مطالعات خود به بررسی رفتار اندرکنش خاک - ژئوسینتیک پرداخته‌اند.

لیو^۱ و همکاران (۲۰۰۹) در بررسی رفتار اندرکنش ماسه - ژئوگرید در مود برش مستقیم از طریق آزمون‌های برش مستقیم بر روی ماسه‌ی اثنا و چندین ژئوگرید پلی‌استر، با مقاومت کششی و درصد مساحت بازشوی مختلف دریافت‌اند که مقاومت برشی سطح مشترک ماسه - ژئوگرید، تحت مود برش مستقیم، به طور قابل توجهی بالاتر از مقاومت برشی سطح مشترک ماسه - ژئوتکستایل است.^[۲] عبدی و همکاران (۲۰۱۰)،^[۳] نیز برای بررسی تأثیر مقدار مقاومت کششی ژئوگرید در اندرکنش خاک (رس و ماسه - ژئوگرید)، آزمایش‌های برش مستقیم بزرگ مقیاس برای ارزیابی پارامترهای مقاومت برشی سطح تماس خاک - ژئوگرید انجام داده و جهت بررسی تأثیر مقدار مقاومت کششی ژئوگرید در مقاومت برشی سطح تماس، از ۳ نوع ژئوگرید با مقاومت‌های کششی متفاوت در آزمایش‌ها استفاده کرده‌اند. نتایج به دست آمده نشان داده است که بسیج شدن کامل مقاومت مسلح‌کننده بستگی به مقدار فشار قائم دارد. در فشار قائم پایین، هر چه مقدار مقاومت کششی ژئوگرید افزایش یابد، مقدار مقاومت سطح تماس نیز کاهش می‌یابد. در فشار قائم

امروزه، استفاده از ژئوفوم به عنوان یک ماده‌ی بسیار سبک وزن در پروژه‌های ژئوتکنیک افزایش یافته است. مصالح ذکر شده، در کاهش نشست زیر خاکریزها، میرایی صدا و لرزش، کاهش فشار جانی بر سازه‌های زیرین، کاهش تنش روی خطوط لوله‌ی صلب مدفون و سایر موارد استفاده شده‌اند. ژئوفوم، ماده‌ی با چگالی پایین، مقاومت خمشی و مقاومت گسیختگی بالا در برش است که به دو صورت متفاوت، یعنی بلوک‌ها و دانه‌های EPS مخلوط شده با خاک و چسباننده، استفاده می‌شود.^[۴] از طرفی، به کارگیری مسلح‌کننده‌ها باعث افزایش نیروی مقاوم^۱ در توده‌ی خاک، به دلیل فراهم شدن نیروی کششی ناشی از مسلح‌کننده می‌شود و در نتیجه، تغییر شکل‌های افقی خاک کاهش و پایداری کلی سازه‌ی خاک مسلح افزایش می‌یابد.^[۵] در این میان، مکانیزم اندرکنش خاک - مسلح‌کننده، نقش مهمی ایفا می‌کند. در مطالعه‌ی سیستم‌های خاک مسلح با استفاده از آزمایش برش مستقیم، دو عامل یا مکانیزم اندرکنش شناسایی شده است که عبارت‌اند از:^[۶]

۱. اصطکاک جانی در امتداد طول مسلح‌کننده،

۲. اصطکاک بین دانه‌ی بی.

«اصطکاک جانی»، اشاره به اصطکاک در سطح تماس خاک و ژئوسینتیک

* نویسنده مسئول

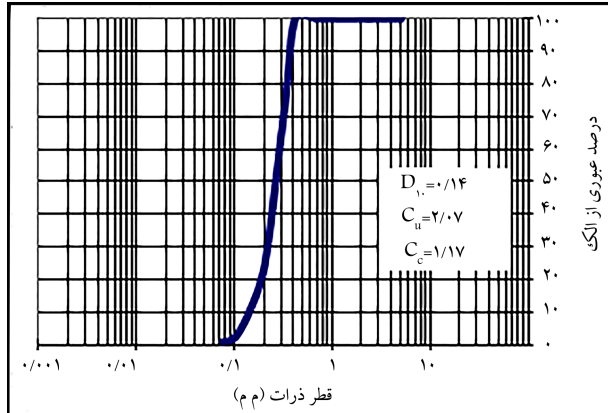
تاریخ: دریافت ۲۲/۱۱/۱۳۹۸، اصلاحیه ۲/۶۱، ۱۳۹۹، پذیرش ۵/۷/۱۳۹۹.

DOI:10.24200/J30.2020.54696.2682

عبدی و همکاران (۲۰۱۷) نیز اثر ژئوتکستайл را در افزایش مقاومت برشی و ظرفیت باربری خاک رس کاولینیت مسلح شده با ژئوگردید، با استفاده از آزمایش‌های سه‌محوری (UU) بزرگ‌مقیاس و CBR بررسی کردند. آزمایش‌های مذکور بر روی نمونه‌های فاقد مسلح‌کننده، نمونه‌های مسلح‌شده با لایه‌های ژئوگردید و نمونه‌های مسلح‌شده با لایه‌های ژئوکامپوزیت انجام شده‌اند. نتایج مطالعات و آزمایش‌ها نشان داده‌اند که وجود لایه‌های ژئوتکستайл در اطراف ژئوگردید در تسليح خاک رس، به نحو مؤثری موجب بهبود اندرکنش سطح تماش و بسیج شدن تنفس‌ها بر روی ژئوگردید می‌شود و نه فقط باعث ارتقاء پارامترهای مقاومت برشی می‌شود، بلکه سبب افزایش ظرفیت باربری نیز می‌شود.^[۱] همچنین علایی و جمشیدی چناری (۲۰۱۸)، رفتار پرشی سیکلیک و پس‌سیکلیک سطح مشترک بین ژئوگردید و خاکریزدانه‌های EPS - ماسه را با استفاده از دستگاه آزمون برش مستقیم سیکلیک بزرگ‌مقیاس بررسی کردند. دانه‌های EPS در مقادیر وزنی ۰، ۱، ۰/۵ و ۲ درصد به ماسه اضافه و آزمون‌ها تحت ۳ فشار قائم مختلف ۳۰ kPa، ۳۰ kPa، ۶۰ kPa و ۹۰ kPa انجام شده‌اند. با توجه به نتایج به دست آمده مشخص شده است که چسبندگی ظاهری سطح مشترک و زاویه‌ی اصطکاک سطح مشترک، با مقدار EPS به ترتیب افزایش و کاهش یافته‌اند.^[۱]

محبوبی مطلق و محبوبی اردکانی (۲۰۱۸)، هم تأثیر افزودن آهک در پارامترهای مقاومت برشی فصل مشترک خاک رس - ژئوسینتیک را بررسی کردند. در این راستا، خاک‌های رسی با درصد‌های مختلف آهک (۰، ۲، ۴ و ۶٪) تثبیت و با ژئوسینتیک (ژئوتکستайл و ژئوگردید) مسلح شده و پس از ۱ و ۷ روز عمل‌آوری، تحت آزمایش برش نمونه‌ها را افزایش می‌دهد و با افزایش زمان عمل‌آوری، میران مقاومت برشی افزوده می‌شود. مقاومت برشی نمونه‌های مسلح شده، در مقایسه با نمونه‌های غیرمسلح بیشتر بوده و در یک تنفس قائم بکسان، مقاومت نمونه‌های رس - ژئوگردید نیز بیشتر از مقاومت نمونه‌های رس - ژئوتکستайл بوده است.^[۱] در پژوهش عبدی و عسگردون (۲۰۱۹)، نیز تأثیر لایه‌ی درشت‌دانه‌ی تثبیت نشده، تثبیت شده و تسليح شده با ژئوسینتیک‌ها در کاهش پتانسیل نشست و افزایش ظرفیت باربری رس نرم بررسی شده است. بدین منظور از ماسه به عنوان لایه‌ی درشت‌دانه، از سیمان به عنوان تثبیت‌کننده و از ژئوگردید و ژئوتکستайл با موقعیت‌های قرارگیری مختلف به عنوان عوامل تسليح لایه‌ی درشت‌دانه‌ی سطحی استفاده شده است. آزمایش‌ها با استفاده از سیستم بارگذاری CBR، تحت بار استاتیکی انجام شده‌اند. لایه‌ی ماسه با ۰، ۲/۵، ۵، ۷/۵ و ۱۰ درصد سیمان تثبیت شده و محل قرارگیری ژئوسینتیک‌ها، در وسط لایه‌ی ماسه و مرز دو لایه‌ی رس و ماسه بوده است. نتایج نشان داده است که به کارگیری لایه‌ی ماسه‌یی به صورت تثبیت نشده و تثبیت شده، موجب افزایش ظرفیت باربری بستر رسی نرم شده و با افزایش درصد سیمان، ظرفیت باربری خاک افزایش چشمگیری یافته است. با تسليح ماسه با ژئوسینتیک‌ها، ظرفیت باربری خاک بستر رسی افزایش و پتانسیل نشست آن کاهش یافته است. برخلاف نمونه‌های تثبیت شده، در نمونه‌های مسلح به مقدار بیشینه، کاهش نیافته و روند افزایش با ظرفیت باربری پس از رسیدن به این مقدار متفاوت است. براساس نتایج حاصل، وجود شبیه ملائم‌تری ادامه یافته است.^[۱] با بررسی ادبیات موضوعی به نظر می‌رسد که به رفتار اندرکنش خاک حاوی دانه‌های ژئوفرم - ژئوسینتیک، چندان توجه نشده است. لذا در پژوهش حاضر، به بررسی پارامترهای اندرکنش مخلوط خاک و ژئوفرم - ژئوسینتیک، با استفاده از سه نوع مسلح‌کننده ژئوسینتیکی ژئوگردید، ژئوتکستайл، ژئوکامپوزیت و با به کارگیری دستگاه برش مستقیم بزرگ‌مقیاس پرداخته شده است.

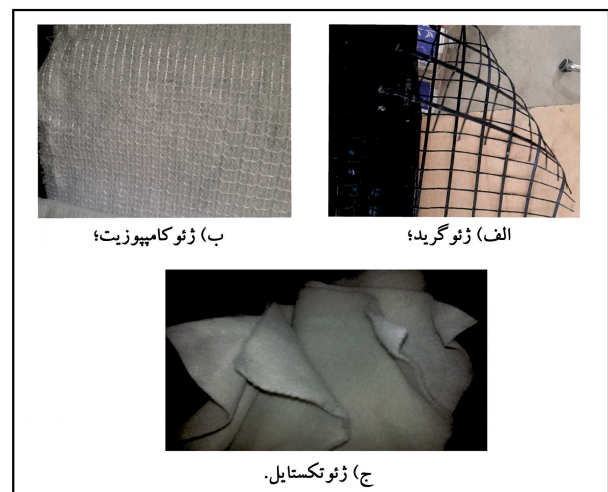
متوسط، تقریباً مقدار مقاومت کششی ژئوگردید، تأثیر چندانی در مقدار مقاومت سطح تماس، چه در مقدار بیشینه و چه در مقاومت پایدار ندارد. در فشار قائم بالا، با افزایش مقدار مقاومت کششی ژئوگردید و به تبع آن، مقدار مقاومت سطح تماس نیز افزایش می‌باید و این اختلاف، هم در مقدار مقاومت بیشینه و هم در مقدار مقاومت نهایی مشاهده می‌شود. تانچایسوات^۳ و همکاران (۲۰۱۰)، در بررسی اندرکنش بین ژئوگردید و مخلوط خردۀ لاستیک - ماسه، آزمایش‌های متعددی از جمله آزمون‌های بیرون‌کشش و آزمون‌های برش مستقیم بزرگ‌مقیاس برای دستیابی به اهداف مذکور انجام داده‌اند. ژئوگردیدهای Saint-Gobain (ژئوگردید A) و Polyfelt (ژئوگردید B)، به عنوان مصالح مسلح‌کننده انتخاب شده و مخلوط‌های خردۀ لاستیک - ماسه، در نسبت‌های اختلال ۰:۱؛ ۱:۰؛ ۴۰:۵۰؛ ۵۰:۵۰ درصد وزنی، به عنوان مصالح خاکریز استفاده شده‌اند. درنهایت، ژئوگردید B، به عنوان مسلح‌کننده و مخلوط خردۀ لاستیک - ماسه، در نسبت اختلال ۳۰:۷۰ درصد وزنی، به عنوان مصالح خاکریز توصیه شده‌اند.^[۵] همچنین در مطالعه‌ی انجام شده‌ی تونا^۴ و آلتون^۵ (۲۰۱۲)، رفتار مکانیکی سطح مشترک ماسه (با طبقه‌بندی SP و SW) و ۳ گروه ژئوتکستайл، با آزمایش برش مستقیم بررسی شده است. درنهایت، چنین نتیجه‌گیری شده است که رفتار بین وجهی به آثار ترکیبی ویژگی‌های سطح و تغیرشکل پذیری ژئوتکستایل‌ها و همچنین ویژگی‌های شاخص خاک وابسته است. ویژگی‌های بافت ژئوتکستایل، آثار قابل توجهی در مقاومت برشی و زاویه‌ی اصطکاک بین وجهی داشته‌اند. به طور مثال، ژئوتکستایل‌های نیافته، تغیرشکل افقی بالا در شکست و افت کمینه‌ی مقاومت پس از مقدار اوج را نشان داده‌اند. همچنین مشخص شده است که مقدار چسبندگی، تحت تأثیر مستقیم اندازه‌ی نمونه است.^[۶] عبدی و اتفاق (۲۰۱۴) نیز در بررسی تأثیر اندازه‌ی ذرات خاک و ابعاد چشمۀ‌های ژئوگردید در اندرکنش خاک - ژئوگردید، با کاربرد ۳ نوع خاک درشت‌دانه و ۴ نوع ژئوگردید با جنس یکسان و ابعاد چشمۀ‌های مختلف با استفاده از دستگاه برش مستقیم بزرگ‌مقیاس دریافتند که برای هر خاک با دانه‌بندی مشخص، یک چشمۀ با اندازه‌ی بهینه وجود دارد. به طورکلی، با بزرگ‌تر شدن اندازه‌ی متوسط ذرات، ابعاد ژئوگردید بهینه نیز افزایش یافته است. براساس نتایج به دست آمده، ژئوگردیدی که در خاک، پیشترین مقاومت برشی را ایجاد کرده است، بالاترین مقدار زاویه‌ی اندرکنش خاک - ژئوگردید و پیشترین ضربی اتصال را به خود اختصاص داده است.^[۷] دنین^۶ و همکاران هم در یک بررسی آزمایشگاهی در سال ۲۰۱۶، اثر تسليح با ژئوتکستайл را در مقاومت برشی خاک ماسه‌یی مطالعه کرده و یک سری از آزمون‌های فشاری یکنواخت زهکشی نشده بر روی ماسه‌ی سُست مسلح شده با ژئوتکستайл را عمدتاً برای مطالعه‌ی اثر تنفس محصورشکل‌گی در رفتار مکانیکی ماسه‌ی مسلح شده با ژئوتکستایل انجام داده‌اند. آزمایش‌های سه‌محوری بر روی نمونه‌های بازسازی شده از ماسه‌ی طبیعی خشک، تهیه شده در چگالی نسبی ۳۰٪ با و بدون لایه‌های ژئوتکستایل و تحکیم یافته برای سه سطح از فشارهای محصورکننده ۵۰ kPa و ۱۰۰ kPa و ۲۰۰ kPa انجام شده‌اند. لایه‌های مسلح‌کننده در تعادل و چیدمان‌های متفاوتی در ارتفاع‌های مختلف از نمونه (صفر، ۱ و ۲ لایه) قرار داده شده‌اند. رفتار نمونه‌ها تحت آزمون ارائه و بحث شده است. براساس نتایج حاصل، وجود ژئوتکستایل موجب بهبود رفتار مکانیکی ماسه شده و افزایش قابل توجه مقاومت بررسی و مقدار چسبندگی با افزایش تعداد لایه‌های مسلح‌کننده صورت پذیرفته است. همچنین، نتایج نشان داده‌اند که نسبت مقاومت برای نمونه‌هایی که در معرض مقدار کم فشار محصورکننده قرار داشته‌اند، قابل توجه تراست و مقدار بالای فشار محصورکننده می‌تواند اتساع بررسی ماسه را محدود کند و اثر پیشتری در بازده مسلح‌کننده دارد.^[۸]



شکل ۱. منحنی دانه‌بندی خاک ماسه‌ی استفاده شده در پژوهش حاضر.



شکل ۲. دانه‌های ژئوفوم استفاده شده در پژوهش حاضر.



شکل ۳. انواع مسلح کننده‌های مورد استفاده در آزمایشات.

۳. دستگاه استفاده شده
در پژوهش حاضر، برای انجام آزمایش‌ها، از دستگاه برش مستقیم بزرگ مقیاس با ابعاد جعبه‌ی $152 \times 304 \times 48$ میلی‌متر استفاده شده است. دلیل انتخاب دستگاه برش مستقیم بزرگ مقیاس، بازاری نمونه‌ها و انتظامی بیشتر با شرایط واقعی بوده است. آزمایش‌ها براساس استاندارد ASTM-D5321 [۱۵] «روش

۲. مواد و مصالح استفاده شده

۱.۲. مصالح خاکی

در پژوهش حاضر، از خاک ماسه‌ی ۱۶۱ فیروزکوه به عنوان خاک شاهد استفاده شده است که براساس نتایج آزمایش دانه‌بندی و منحنی حاصل، خاک مذکور از طبقه‌ی (SP) ماسه‌ی بد دانه‌بندی شده، مطابق سیستم طبقه‌بندی متعدد) بوده است. لازم به ذکر است دانه‌بندی خاک ذکر شده، مشابه دانه‌بندی ماسه‌ی توپورا^۷ ژاپن است و به عنوان یک خاک استاندارد در تحقیقات ژئوتکنیکی استفاده می‌شود. همچنین، به دلیل اینکه خاک ماسه‌ی ۱۶۱ فیروزکوه، ماسه‌ی بددانه‌بندی شده است و قطر دانه‌های آن در یک محدوده قرار می‌گیرد، اضافه کردن موادی نظری دانه‌های ژئوفوم موجب قرارگیری این دانه‌ها در خلل و فرج ماسه‌ی مذکور شده و فضاهای خالی را پر می‌کند و بتایران، تأثیر اختلاط دانه‌های ژئوفوم با آن بیشتر مشهود است. منحنی دانه‌بندی خاک ماسه‌ی ۱۶۱ فیروزکوه، در شکل ۱ مشاهده می‌شود.

۲.۲. ژئوفوم پلی استایرن

ژئوفوم پلی استایرن استفاده شده در پژوهش حاضر، جهت اختلاط با خاک، ریزدانه بوده و از الک نمره‌ی ۱۰ عبور کرده است. همچنین، وزن مخصوص آن، ۰.۰۵ گرم بر سانتی‌متر مکعب بوده و با نسبت‌های وزنی $۰.۴/۰.۲$ ، $۰.۴/۰.۶$ درصد با خاک مخلوط شده است. لازم به ذکر است درصد های مذکور براساس پژوهش دیگری در این زمینه^[۱۶] که جهت رسیدن به درصد بهینه‌ی اختلاط (کاهش وزن مخصوص خاک به همراه بیشترین افزایش چسبندگی خاک و کمترین میزان کاهش زاویه‌ی اصطکاک داخلی) انجام شده است، در شکل ۲ مشاهده شده‌اند. تصویر دانه‌های ژئوفوم استفاده شده، در شکل ۲ مشاهده می‌شود.

۳.۲. مسلح‌کننده‌های ژئوسینتتیکی

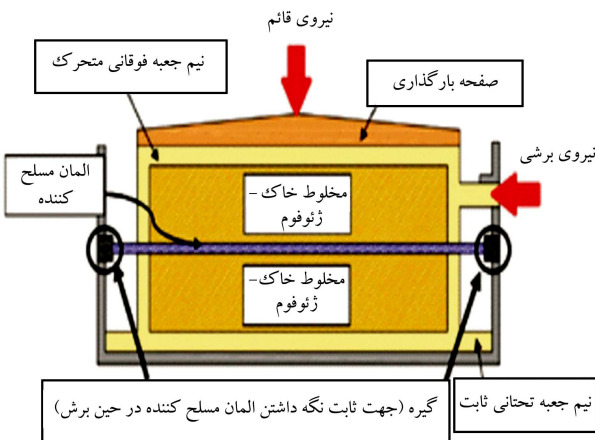
مصالح ژئوسینتتیک استفاده شده در پژوهش حاضر، شامل ژئوگرید، ژئوکامپوزیت، و ژئوتکستایل (شکل ۳) است که ژئوگرید و ژئوکامپوزیت (شکل ۳الف و ب)، از شرکت ژوپارسان در استان مازندران تهیه شده‌اند. ژئوتکستایل استفاده شده (شکل ۳ج)، از نوع نبافته‌ی ۲۰۰ گرمی با الیاف پلی‌استر است که از شرکت منسوجات سپیده صنعت، در استان مازندران تهیه شده است. مشخصات مصالح ژئوسینتتیکی برای ۳ نوع ژئوسینتتیک استفاده شده، در جدول‌های ۱ و ۲ ارائه شده است.

جدول ۱. ویژگی‌های ژئوگرید و ژئوکامپوزیت استفاده شده در پژوهش حاضر.

| ویژگی | ژئوگرید | ژئوکامپوزیت | مقادیم کششی (kN/m) |
|------------------------|----------------|----------------|------------------------|
| تطویل در مقاومت (%) | ۲۰ | ۲۰ | ۲۰ |
| عرض حلقه (mm) | ۱۲ | ۱۲ | ۵/۲۵ |
| طول حلقه (mm) | ۱۰۰ | ۱۰۰ | - |
| اندازه‌ی شبکه (mm) | ۲۵×۲۵ | ۲۵×۲۵ | - |

جدول ۲. ویزگی‌های ژئوتکستیل استفاده شده در پژوهش حاضر.

| مشخصات | سطح (gr/m ²) | طولی (mm) | عرضی (mm) | مقاومت سواخ شدگی (%) | بیشینه کشش (%) | جرم در واحد مقدار |
|--------|--------------------------|-----------|-----------|----------------------|----------------|-------------------|
| ۳۷۰ | ۱/۵ | ۵۰ | ۵۵ | ۲/۶ | ۲۰۰ | مقدار |

شکل ۴. نحوه قرارگیری نمونه‌های مسلح شده در دستگاه برش مستقیم.^[۱۰]

شکل ۵. دستگاه برش مستقیم بزرگ مقیاس استفاده شده در پژوهش حاضر.

در هر آزمایش کرده است که در انجام آزمایش‌ها نیز رعایت شده است. پس از انجام آزمایش‌های پایه‌ی مکانیک خاک، شامل آزمایش‌های: دانه‌بندی، تعیین چگالی و بیهی ذرات جامد خاک و تعیین درصد رطوبت بر روی خاک ماسه‌ی ۱۶۱ فیروزکوه، آزمایش تراکم بر روی خاک ماسه‌ی ۱۶۱ فیروزکوه و مخلوط خاک با درصدهای مختلف ژوفوم انجام شده است. جهت آماده‌سازی نمونه‌ها برای آزمایش برش مستقیم، ابتدا خاک ماسه‌ی ۱۶۱ فیروزکوه، با درصدهای مختلف ژوفوم در درصد رطوبت بهینه‌ی تعیین شده توسعه آزمایش تراکم برای هر طرح اختلاط به خوبی مخلوط شده است. در شکل ۶، نمونه‌ی از مخلوط آماده شده جهت انجام آزمایش تراکم و تصویری از نحوه انجام آزمایش تراکم مشاهده می‌شود. پس از آن، برای انجام مطالعات آزمایشگاهی و به منظور ارزیابی اثر مسلح‌کننده‌های ژئوتکستیلیکی در پارامترهای مقاومت برشی و ظرفیت باربری، همچنین رفتار اندرکشن خاک ماسه‌ی حاوی ژوفوم، نمونه‌هایی با اختلاط ماسه و درصدهای مختلف ژوفوم و تسلیح با ۳ نوع ژئوتکستیل مختلف آماده شده و در دستگاه برش مستقیم بزرگ مقیاس تحت آزمایش قرار گرفته‌اند و متحننی‌های تعییرات تنش برشی - جابه‌جایی افقی و

آزمایش استاندارد برای تعیین ضریب اصطکاک خاک و ژئوتکستیل، یا ژئوسینتیک و ژئوسینتیک، با استفاده از آزمایش برش مستقیم انجام شده است. روش آزمون مندرج در استاندارد ASTM D5321، مطابق این مراحل است:

۱. مقاومت برشی بین ژئوتکستیل و خاک، یا هر ماده‌ی دیگری که توسط کاربر انتخاب شده باشد، با قرار دادن ژئوسینتیک و یک یا چند سطح قائم تماش، مانند خاک، در جعبه‌ی برش مستقیم تعیین می‌شود. نیروی قائم ثابت، به نمایندگی از تنש‌های طراحی به نمونه اعمال می‌شود و یک نیروی برشی (ماماسی)، به گونه‌یی به دستگاه اعمال می‌شود که بخشی از جعبه نسبت به بخش دیگر جایه‌جا شود. نیروی برشی، به عنوان تابعی از تغییرمکان افقی بخش متحرک جعبه‌ی برش ثبت می‌شود.

۲. به منظور مدل‌کردن مناسب شرایط کارگاهی، آزمایش باید در دست کم ۳ نتش قائم مختلف، که توسط کاربر انتخاب شده است، انجام شود. مقادیر حدی تنش‌های برشی، در مقابل تنش‌های فشاری قائم اعمال شده ترسیم می‌شوند. عموماً داده‌های آزمایش توسط خط مستقیمی با بهترین بازنشناسی داده می‌شوند که شیب آن نشان‌دهنده‌ی ضریب اصطکاک بین دو ماده است. عرض از مبدأ خط مذکور، بیانگر چسبندگی است. ضریب اصطکاک خاک و ژئوتکستیل، تابعی از تنش قائم اعمال شده، مشخصات ژئوسینتیک، دانه‌بندی خاک، حالت خمیری خاک، چگالی، میران رطوبت، اندازه‌ی نمونه، شرایط زهکشی، تغییرمکان، مقدار تغییرمکان و ... است.

۳. روش ذکر شده‌ی آزمون، مقاومت کل در برابر برش بین ژئوسینتیک و یک نوع مصالح تکیه‌گاهی (ایهی زیرین)، یا یک ژئوسینتیک و قشر رویه را اندازه‌گیری می‌کند. مقاومت لغزش کل می‌تواند ترکیبی از لغزش، پیچش، قفل و بست ذرات خاک و سطوح ژئوسینتیک و کرنش برشی در نمونه‌ی ژئوسینتیک باشد. ممکن است مقاومت برشی بر روی دو وجه ژئوسینتیک متفاوت باشد و ممکن است با جهت برش نسبت به جهت‌گیری ژئوسینتیک تغییر کند. نحوه قرارگیری نمونه‌های مسلح و دستگاه استفاده شده، به ترتیب در شکل‌های ۴ و ۵ مشاهده می‌شود.

۴. روش انجام آزمایش

در پژوهش حاضر، انجام آزمایش‌ها با استفاده از روش UU (تحکیم نیافته - زهکشی نشده)، تحت فشارهای قائم ۱۵۰ kPa و ۷۵ kPa و با سرعت بارگذاری افقی (سرعت گسیختگی)، یک میلی‌متر بدقتیقه، مطابق مندرجات استاندارد صورت گرفته است. از آنجایی که برای مصالح ماسه‌یی، روش‌های کند و سریع، از لحاظ مشخصات فشار آب حفره‌یی تفاوت چندانی ندارند، لذا در پژوهش حاضر، از روش UU (روش سریع) استفاده شده است. همچنین با توجه به مرتبط بودن UU (روش سریع) توصیه به انجام سریع آزمایش اخیر کرده خاک، استاندارد ASTM-D5321 توصیه به انجام سریع آزمایش نشود. همچنین استاندارد است، که رطوبت خاک باعث مرطوب شدن مسلح‌کننده نشود. همچنین استاندارد ASTM-D5321 توصیه به تعویض مسلح‌کننده و استفاده از مسلح‌کننده جدید



شکل ۸. پر کردن نیمه‌ی پایینی جعبه‌ی برش با مخلوط خاک و ژئوفوم و قرار دادن و محکم نمودن آن به لبه‌ی جعبه‌ی پایین با گیره.

مرحله‌ی بعد، نیمه‌ی پایینی جعبه‌ی برش در ۳ لایه پر و تا رسیدن به وزن مخصوص خشک بیشینه متراکم شده است. پس از نصب ژوسيستيک مرتبط (شکل ۸) در مرز مشترک نیمه‌ی پایینی و بالایی جعبه‌ی برش، و محکم کردن آن به لبه‌های نیمه‌ی پایینی جعبه‌ی برش، نیمه‌ی بالایی جعبه‌ی برش مستقر شده و مشابه بخش پایین، از مخلوط خاک و ژئوفوم با رطوبت بهینه در ۳ لایه، پر و متراکم شده است. با استقرار صفحه‌ی بارگذاری بر روی نمونه و اعمال تنش قائم موردنظر (۷۵kPa، ۱۵۰ kPa، ۲۲۵kPa، ۱۵۰ kPa)، نیروی برشی با سرعت یک میلی‌متر بر دقیقه اعمال شده است. با توجه به وجود ضربی اصطکاک، کرنش گسیختگی مطابق استاندارد ASTM-D5321، تا ۲۵ الی ۳۰ درصد بعد نمونه (بعاد جعبه) ادامه یافته است. در نام‌گذاری نمونه‌ها، از علامت SP، EPS، GG، GT و GC به ترتیب، برای اشاره به ماسه، ژئوفوم پلی‌استایرن، ژئوگرید، ژئوتکستائل و ژئوكامپوزیت استفاده و درصدهای اختلاط ژئوفوم در کنار EPS درج شده است.

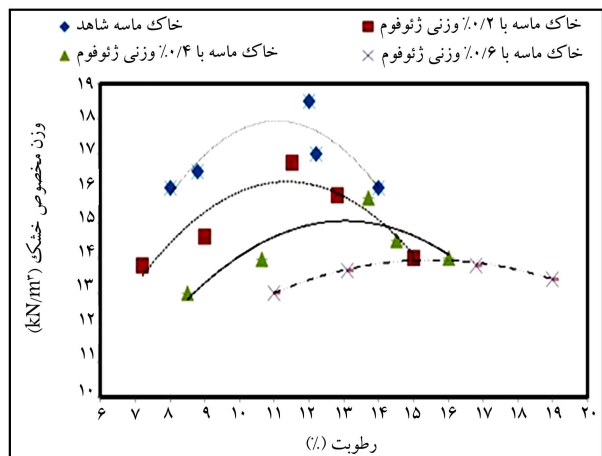


الف) نمونه بی از مخلوط خاک و ژئوفوم جهت انجام آزمایش تراکم؛



ب) انجام آزمایش تراکم نمونه‌ها برای تعیین درصد رطوبت بهینه.

شکل ۶. نحوه اختلاط خاک و آزمایش تراکم نمونه‌ها.



شکل ۷. منحنی تراکم ماسه‌ی شاهد و ماسه با افزودن درصدهای مختلف ژئوفوم.

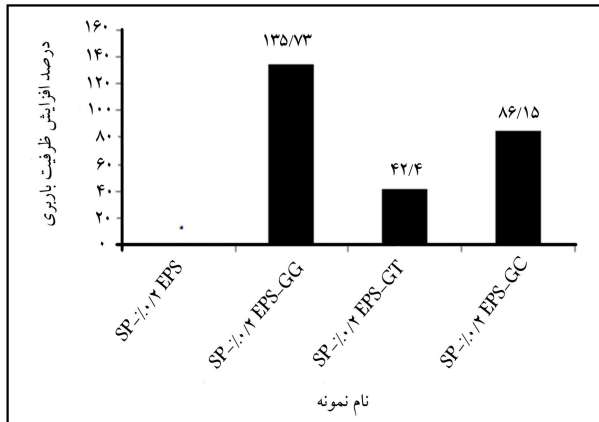
جدول ۳. نتایج حاصل از آزمایش تراکم انجام شده بر روی نمونه‌های خاک.

| نمونه‌ی خاک | وزن مخصوص خشک بیشینه رطوبت بهینه (%, w _{opt}) | (kN/m ³ , Y _{d max}) |
|---------------|---------------------------------------------------------|-------------------------------------------|
| SP | 17/۷۴ | 11/۴ |
| SP - ۰/۰٪/EPS | 16/۳۳ | 12/۲ |
| SP - ۰/۴٪/EPS | 15/۲۲ | 13/۷ |
| SP - ۰/۶٪/EPS | 13/۹۶ | 15/۴ |

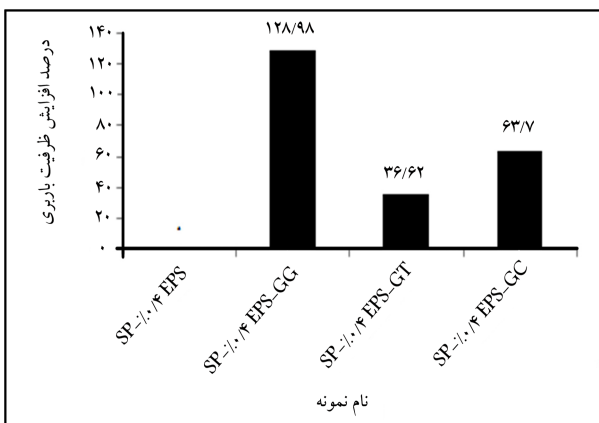
تفییرات تنش برشی - تنش عمودی ترسیم شده‌اند. نتایج آزمایش‌های تراکم برای سه میزان درصد اختلاط ۲، ۵، ۱۰ و ۱۵٪ ژئوفوم، در شکل ۷ و جدول ۷ نشان داده شده است.

با توجه به نتایج آزمایش تراکم در شکل ۷ و جدول ۳، می‌توان مشاهده کرد که افزودن ژئوفوم باعث کاهش وزن مخصوص خشک خاک شده است؛ که این امر به نسبت به مخلوط ماسه و ژئوفوم، در مخلوط‌های خاک و ژئوفوم مسلح شده با ژئوگرید و پس از آن به ترتیب در مخلوط‌های خاک و ژئوفوم مسلح شده با ژئوكامپوزیت و مخلوط‌های خاک و ژئوفوم مسلح شده با ژئوتکستائل به دست آمده است. در تنش قائم بالاتر، اندرکشش خاک و ژوسيستيک و قفل و بست ذرات در یکدیگر و فشردگی مخلوط خاک و ژئوفوم افزایش یافته و در نتیجه، افزایش تنش برشی نیز

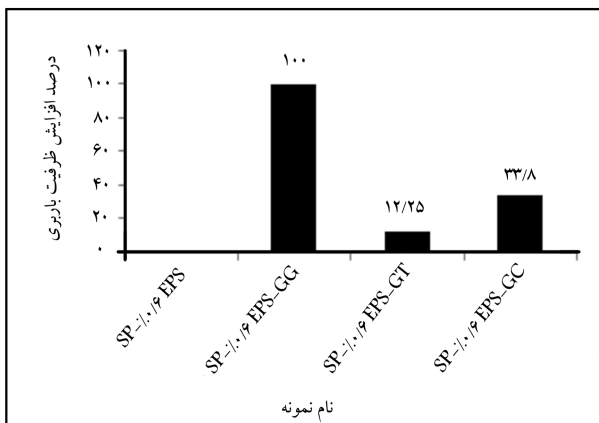
پس از اختلاط خاک و درصدهای مختلف ژئوفوم با میزان رطوبت بهینه، در



شکل ۱۰. میزان افزایش ظرفیت باربری مخلوطهای ماسه - ژئوفوم مسلح حاوی ۲٪ وزنی ژئوفوم نسبت به مخلوطهای ماسه - ژئوفوم غیرمسلح.

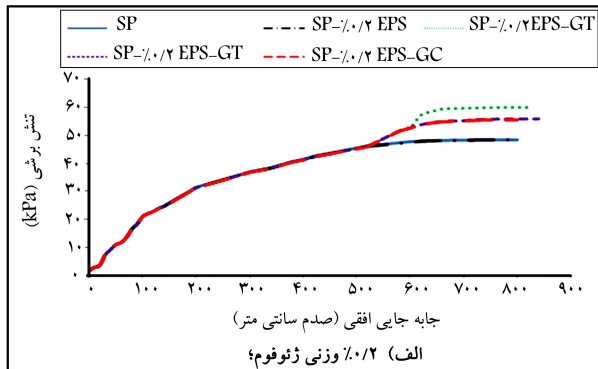


شکل ۱۱. میزان افزایش ظرفیت باربری مخلوطهای ماسه - ژئوفوم مسلح حاوی ۴٪ وزنی ژئوفوم نسبت به مخلوطهای ماسه - ژئوفوم غیرمسلح.

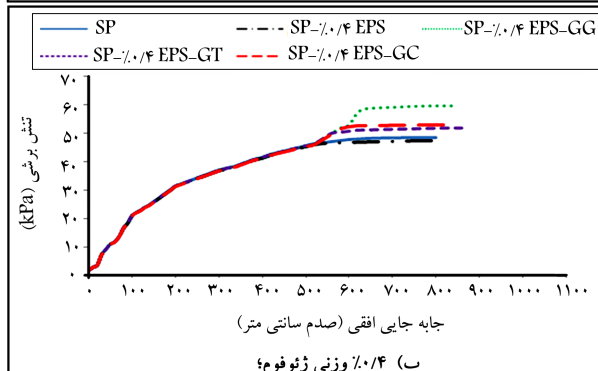


شکل ۱۲. میزان افزایش ظرفیت باربری مخلوطهای ماسه - ژئوفوم مسلح حاوی ۶٪ وزنی ژئوفوم نسبت به مخلوطهای ماسه - ژئوفوم غیرمسلح.

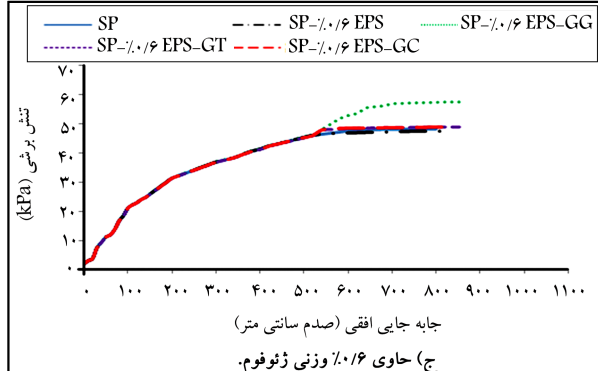
ترتیب در شکل‌های ۱۰ الی ۱۲ مشاهده می‌شوند که مطابق آن‌ها می‌توان ترتیج گرفت در هر ۳ مورد، بیشترین افزایش ظرفیت باربری نسبت به نمونه‌های ماسه - ژئوفوم غیرمسلح، به ترتیب: در تسلیح با ژئوگرید، ژئوکامپوزیت و ژئوتکستیل به دست آمده است. استفاده از مسلح‌کننده‌ها در خاک باعث افزایش مقاومت توده‌ی



(الف) ۰/۲٪ وزنی ژئوفوم؛



(ب) ۰/۴٪ وزنی ژئوفوم؛



(ج) ۰/۶٪ وزنی ژئوفوم.

شکل ۹. تغییرات تنفس برشی (۲) جابه‌جایی افقی، برای نمونه‌های ساخته شده با ماسه‌ی خالص و مخلوطهای خاک مسلح شده با ژئوسینتیک‌ها در تنفس قائم .۷۵kPa

بیشتر شده است. همچنین، با افزایش درصد اختلاط ژئوفوم در مخلوطهای مسلح شده با ژئوسینتیک، مقادیر تنفس برشی کاهش یافته است که دلیل آن افزایش میرایی حاصل از افزودن دانه‌های ژئوفوم و جذب آب توسط دانه‌های ژئوفوم است که در درصد‌های بالاتر ژئوفوم، نقش بیشتری ایفا می‌کند.

۲.۵. بررسی تغییرات ظرفیت باربری

در پژوهش حاضر، ظرفیت باربری از فرمول هانسن، مطابق مبحث هفتم مقررات ملی ساختمان (بی و بی‌سازی)^[۱۶] محاسبه و مقادیر به دست آمده برای ظرفیت باربری در جدول ۴ ارائه شده است که در آن به مقادیر پارامترهای مقاومت برشی (چشمینگی و زاویه‌ی اصطکاک داخلی) خاک‌ها نیز اشاره شده است. میرایان افزایش ظرفیت باربری مخلوطهای ماسه - ژئوفوم مسلح، حاوی ۰/۲٪ و ۰/۶٪ درصد وزنی ژئوفوم، نسبت به نمونه‌های ماسه - ژئوفوم غیرمسلح، به

جدول ۴. مقادیر ظرفیت باربری مخلوط‌های ماسه - ژئوفوم غیرمسلح و مخلوط‌های ماسه - ژئوفوم مسلح شده با ژئوسینتیک.

| نام نمونه | چسبندگی زاویه‌ی اصطکاک داخلي (درجه) | ظرفیت باربری نهايی (kPa) | ظرفیت باربری نهايی داخلي (درجه) | چسبندگی زاویه‌ی اصطکاک داخلي (درجه) |
|---------------------|-------------------------------------------|-----------------------------|------------------------------------|-------------------------------------------|
| SP - ۰٪ EPS | ۰ | ۳۳ | ۴۰.۸ | ۴۰.۸ |
| SP - ۰٪ ۲٪ EPS | ۲٪ | ۲۱ | ۳۶.۱ | ۳۶.۱ |
| SP - ۰٪ ۴٪ EPS | ۴٪ | ۲۹ | ۳۱.۴ | ۳۱.۴ |
| SP - ۰٪ ۶٪ EPS | ۶٪ | ۲۸ | ۳۰.۲ | ۳۰.۲ |
| SP - ۰٪ ۲٪ GG | ۳٪ | ۲۷ | ۸۵.۱ | ۸۵.۱ |
| SP - ۰٪ ۲٪ EPS - GT | ۴٪ | ۲۳ | ۵۱.۴ | ۵۱.۴ |
| SP - ۰٪ ۲٪ EPS - GC | ۳٪ | ۲۵ | ۶۷.۲ | ۶۷.۲ |
| SP - ۰٪ ۴٪ GG | ۵٪ | ۲۵ | ۷۱.۹ | ۷۱.۹ |
| SP - ۰٪ ۴٪ EPS - GT | ۷٪ | ۳۰ | ۴۲.۹ | ۴۲.۹ |
| SP - ۰٪ ۴٪ EPS - GC | ۶٪ | ۲۲ | ۵۱.۴ | ۵۱.۴ |
| SP - ۰٪ ۶٪ GG | ۷٪ | ۲۳ | ۶۰.۴ | ۶۰.۴ |
| SP - ۰٪ ۶٪ EPS - GT | ۹٪ | ۲۷ | ۳۳.۹ | ۳۳.۹ |
| SP - ۰٪ ۶٪ EPS - GC | ۸٪ | ۲۹ | ۴۰.۴ | ۴۰.۴ |

برابر ۱۲۹، ۱۲۶ و ۳۶ درصد بوده است. همچنین در حالت افزودن ۰٪ وزنی ژئوفوم، افزایش ظرفیت باربری به ترتیب برابر ۱۰۰، ۳۴ و ۱۲ درصد بوده است. با توجه به نتایج بدست آمده از میان مسلح‌کننده‌های موربدبخت، بیشترین افزایش ظرفیت باربری مربوط به ژئوگرید و پس از آن به ترتیب مربوط به ژئوکامپوزیت و ژئونکستائل بوده است. همچنین بیشترین افزایش ظرفیت باربری متعلق به خاک با درصد اختلاط ژئوفوم کمتر (۲٪) بوده است که این نتیجه با توجه به اثر افزایش ژئوفوم در کاهش زاویه‌ی اصطکاک داخلی خاک منطقی به نظر می‌رسد.

۵.۳. محاسبه‌ی ضریب اندرکنش خاک - ژئوسینتیک

ضریب اندرکنش برای حالت بیرون‌کشش مسلح‌کننده بستگی به: سطح ژئوسینتیک، سطح باربری اعضاء مقاطع عرضی برای بار بیرون‌کشش، ظرفیت باربری خاک اطراف مسلح‌کننده، نوع خاک و طول نمونه‌ی مدفعون شده دارد. مقاومت برشی سطح تماس در مکانیزم اندرکنش برش مستقیم خاک - مسلح‌کننده، ترکیبی از مقاومت برش مستقیم سطح خاک با خاک و مقاومت برش مستقیم مسلح‌کننده با خاک در سطح تماس دارد. پژوهشگران متعددی، [۱۷-۲۷] تأثیر پارامترهای مختلف را در رفتار اصطکاکی سطح تماس خاک - ژئوسینتیک بررسی کرده‌اند. محور مطالعات ایشان، بیشتر پارامترهایی همانند: درصد رطوبت، نوع و چگالی خاک، هندسه و ساختی ژئوسینتیک و تشیه‌های قائم بوده است. آن‌ها مقدار زاویه‌ی اصطکاک بسیج شده در سطح تماس خاک و ژئوسینتیک را با زاویه‌ی اصطکاک داخلی خاک مقایسه و بررسی کرده و عامل C_i یا ضریب اندرکنش یا سطح تماس مؤثر را به صورت نسبت تشیه برشی بیشینه در فصل مشترک خاک - مسلح‌کننده به تشیه برشی بیشینه خاک غیرمسلح، مطابق رابطه‌ی ۱ تعریف داد:

کرده‌اند:

$$C_i = \frac{C_a + \sigma_n \operatorname{tg} \delta_a}{C + \sigma_n \operatorname{tg} \phi} \quad (1)$$

که در آن، C_a چسبندگی بین خاک و ژئوسینتیک، δ_a زاویه‌ی اصطکاک ظاهری

خاک، به دلیل فراهم شدن نیروی کششی ناشی از مسلح‌کننده می‌شود و در نتیجه، تعییرشکل‌های افقی خاک کاهش و پایداری و ظرفیت باربری سازه‌ی خاک مسلح افزایش می‌یابد.

به طور کلی، مقاومت برشی فصل مشترک خاک - ژئوسینتیک ناشی از چند عامل است که در این میان، اصطکاک و قفل و بست دانه‌ها با یکدیگر بیشترین سهم در مقاومت برشی خاک را دارند. در پژوهش حاضر، ژئوگرید و ژئوکامپوزیت، به علت داشتن اعضاء مقاطع عرضی، اندرکنش بهتری با ذرات خاک دارند و در نتیجه، قفل و بست بین ذرات و ژئوسینتیک و همچنین اصطکاک سطحی بین آن‌ها بیشتر است، لذا ظرفیت باربری بیشتر ظرفیت باربری نمونه‌های ماسه ژئوسینتیکی مذکور حاصل می‌شود. افزایش بیشتر ظرفیت باربری نمونه‌های ماسه مسلح‌شده با ژئوگرید، نسبت به نمونه‌های غیرمسلح، از چشم‌های باز ژئوگرید نیز ناشی می‌شود، که امکان قفل و بست بهتر ذرات و مسلح‌کننده را فراهم می‌سازد. از طرفی، با افزایش درصد ژئوفوم از ۰٪ تا ۵٪، میزان افزایش اشاره شده، کاهش یافته است؛ زیرا همان‌طور که پیش از این گفته شد، با افزودن ژئوفوم و نیز افزایش درصد اختلاط آن با ماسه، ساختار خاک دچار تغییر می‌شود و این امر موجب کاهش ظرفیت باربری می‌شود. با وجود کاهش ظرفیت باربری ناشی از اختلاط ژئوفوم با خاک، ژئوفوم به دلیل وزن فوق العاده سبک (عموماً وزن ژئوفوم ۵۰ تا ۱۰۰ برابر کمتر از خاک است)، باعث ایجاد کمینه‌ی تشنهای قائم و جانی و در نتیجه، موجب پخش کردن بارهای متمرکز، کمینه‌ی سازی بارهای جانی در دیوارهای حائل، تأمین کمینه‌ی بارهای سبک و احجام بزرگ خاکریز بدون اضافه کردن هرگونه تش «واقعی» می‌شود. جهت افزایش ظرفیت باربری خاک می‌توان از مسلح‌کننده‌های مختلف به همراه خاک حاوی ژئوفوم استفاده کرد، تا علاوه بر کاهش نیروهای محرک، ظرفیت باربری خاک را نیز افزایش داد.

به طور کلی، ظرفیت باربری نمونه‌های ماسه‌ی مسلح‌شده با ژئوگرید، ژئوکامپوزیت و ژئونکستائل و با افزودن ۰٪ وزنی ژئوفوم، نسبت به مخلوط ماسه - ژئوفوم غیرمسلح، به ترتیب به میزان ۱۳۶، ۸۶ و ۴۲ درصد افزایش یافته است. مقادیر متناظر برای افزایش ظرفیت باربری در حالت افزودن ۴٪ وزنی ژئوفوم به ترتیب

با توجه به مقادیر ضریب اندرکنش در جدول ۵ و شکل ۱۳ مشاهده می‌شود که در مخلوط‌های ماسه و ژئوفوم - ژئوسینتیک، در تنش قائم یکسان، بالاترین ضریب اندرکنش و به عبارتی، قوی‌ترین اتصال در نمونه‌های مسلح شده با ژئوگرد بوده و پس از آن در نمونه‌های مسلح شده با ژئوکامپوزیت ایجاد شده است. ضریب اندرکنش نمونه‌های مسلح شده با ژئوتکستایل، همواره کمتر از ضریب اندرکنش نمونه‌های مسلح شده با ژئوگرد و ژئوکامپوزیت بوده‌اند.

با افزایش تنش قائم و در درصد یکسان اختلاط ژئوفوم، ضریب اندرکنش در مخلوط‌های ماسه - ژئوفوم مسلح شده با ژئوگرد، روند افزایشی و در مخلوط‌های ماسه - ژئوفوم مسلح شده با ژئوتکستایل و ژئوکامپوزیت روند کاهشی داشته است. برای مخلوط‌های مسلح شده با ژئوکامپوزیت، نیز میزان کاهش ایجاد شده کمتر بوده است.

با بررسی درصد اختلاط ژئوفوم بر روی ضریب اندرکنش می‌توان مشاهده کرد که در مخلوط‌های مسلح شده با ژئوگرد، درصد اختلاط ۴٪ و پس از آن، درصد اختلاط ۲٪، بهترین نتیجه را در برداشته است. در مورد مسلح‌کننده‌های ژئوتکستایل و ژئوکامپوزیت، با افزایش درصد اختلاط ژئوفوم، ضریب اندرکنش کاهش یافته است. افزایش ضریب اندرکنش و قوی‌تر بودن اتصال ایجاد شده بین خاک و مسلح‌کننده در نمونه‌های مسلح شده با ژئوگرد، ناشی از وجود چشممه‌های باز در ژئوگرد و قفل و بست قوی و اصطکاک سطحی بهترین ذرات خاک و مسلح‌کننده، همچنین وجود المان‌های متقاطع عرضی در ژئوگرد بوده است که موجب فراهم شدن مقاومت مقاوم در خاک شده است.

۶. نتیجه‌گیری

در پژوهش حاضر، به منظور بررسی رفتار اندرکنش مخلوط ماسه و ژئوفوم - ژئوسینتیک، مخلوط‌های ماسه - ژئوفوم مسلح شده با ژئوسینتیک، در دستگاه برش مستقیم بزرگ مقیاس با روش تحکیم‌نیافته - زهکشی نشده، آزمایش آغاز شده و پارامترهای مقاومت برشی و ظرفیت باربری مخلوط‌های مذکور و درنهایت، ضریب اندرکنش، تعیین و بررسی شده‌اند. نتایج کلی حاصل از پژوهش حاضر را می‌توان به این صورت برشمودر:

۱. در مخلوط‌های ماسه - ژئوفوم مسلح شده با ژئوسینتیک، در تنش قائم یکسان، بیشترین افزایش تنش برشی نسبت به مخلوط ماسه و ژئوفوم، به ترتیب در مخلوط‌های مسلح شده با ژئوگرد، ژئوکامپوزیت، و ژئوتکستایل، به دست آمده و با افزایش تنش قائم، تنش برشی افزایش یافته است.

۲. در مخلوط‌های ماسه - ژئوفوم مسلح شده با ژئوسینتیک، با افزایش درصد اختلاط ژئوفوم، مقادیر تنش برشی کاهش یافته است.

۳. با مقایسه‌ی ظرفیت باربری مخلوط‌های ماسه - ژئوفوم مسلح شده و غیرمسلح می‌توان مشاهده کرد که بسته به نوع مسلح‌کننده و درصد اختلاط ژئوفوم، ظرفیت باربری حدود ۱۲ تا ۱۳۵ درصد افزایش داشته است.

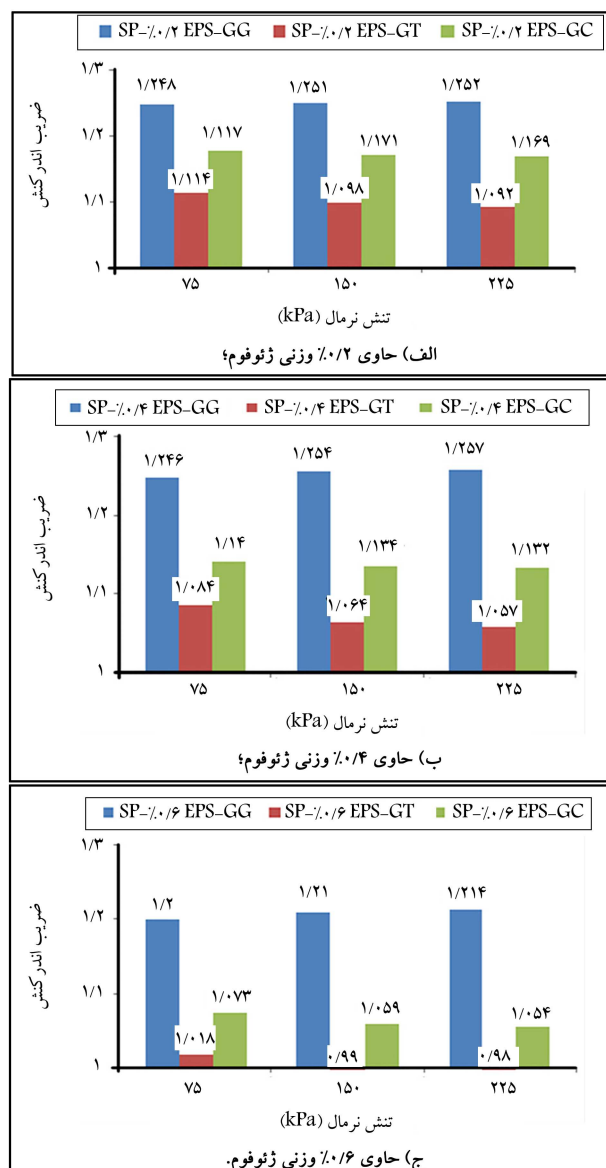
۴. در مخلوط‌های ماسه - ژئوفوم مسلح شده با ژئوسینتیک، بیشترین افزایش ظرفیت باربری نسبت به مخلوط‌های متناظر غیرمسلح، برای نمونه‌های مسلح شده با ژئوگرد و پس از آن به ترتیب، برای نمونه‌های مسلح شده با ژئوکامپوزیت و ژئوتکستایل به دست آمده است.

۵. با وجود کاهش ظرفیت باربری ناشی از اختلاط ژئوفوم با خاک، ژئوفوم

سطح تماس، C چسبندگی خاک، ϕ زاویه‌ی اصطکاک داخلی خاک و σ_n تنش قائم اعمال شده است.

در صورتی که ضریب اندرکنش کمتر از ۵٪ باشد، بدین معنی است که اتصال ضعیفی بین خاک و ژئوسینتیک وجود دارد و اگر بیشتر از ۱ باشد، یعنی اتصال قوی بین خاک و ژئوسینتیک حاکم است و مقاومت سطح تماس بین خاک و مسلح‌کننده، بیشتر از مقاومت خاک با خاک خواهد بود.^[۱۶]

با توجه به مقادیر پارامترهای مقاومت برشی (C , ϕ) حاصل از آزمایش برش مستقیم، برای نمونه‌های غیرمسلح و مقادیر چسبندگی و زاویه‌ی اصطکاک ظاهری بین خاک و ژئوسینتیک (C_a , δ_a)، ضرایب اندرکنش (C_i) محاسبه شده با استفاده از رابطه‌ی ۱، برای مخلوط خاک و ژئوفوم - ژئوسینتیک، در تنش‌های قائم ۷۵kPa، ۱۵۰kPa و ۲۲۵kPa به شرح جدول ۵ هستند. نتایج حاصل برای ضریب اندرکنش، در شکل ۱۳ مشاهده می‌شود.



شکل ۱۳. مقادیر ضریب اندرکنش برای مخلوط‌های ماسه - ژئوفوم مسلح شده با ژئوسینتیک.

جدول ۵. ضرایب اندرکنش محاسبه شده برای نمونه‌های مسلح شده با ژئوستینتیک.

| نمونه‌های مسلح شده با ژئوستینتیک | | | | | |
|----------------------------------|---------------------|----------------------|----------------|-------------------------------------------|------------------|
| C_i | σ_n (kPa) | δ_a (درجه) | C_a (kpa) | مشخصات نمونه | نام نمونه |
| ۱,۲۴۸ | ۷۵ | | | نمونه‌ی ساخته شده با ماسه‌ی SP و ۰٪ | SP - ۰٪/EPS - GG |
| ۱,۲۵۱ | ۱۵° | ۳۷ | ۳,۲ | درصد وزنی ژئوفوم، مسلح شده با ژئوگرید | |
| ۱,۲۵۲ | ۲۲۵ | | | | |
| ۱,۱۱۴ | ۷۵ | | | نمونه‌ی ساخته شده با ماسه‌ی SP و ۰٪ | SP - ۰٪/EPS - GT |
| ۱,۰۹۸ | ۱۵° | ۳۳ | ۴,۶ | درصد وزنی ژئوفوم، مسلح شده با ژئوتکستیل | |
| ۱,۰۹۲ | ۲۲۵ | | | | |
| ۱,۱۷۷ | ۷۵ | | | نمونه‌ی ساخته شده با ماسه‌ی SP و ۰٪ | SP - ۰٪/EPS - GC |
| ۱,۱۷۱ | ۱۵° | ۳۵ | ۳,۸ | درصد وزنی ژئوفوم، مسلح شده با ژئوکامپوزیت | |
| ۱,۱۶۹ | ۲۲۵ | | | | |
| ۱,۲۴۶ | ۷۵ | | | نمونه‌ی ساخته شده با ماسه‌ی SP و ۰٪ | SP - ۰٪/EPS - GG |
| ۱,۲۵۴ | ۱۵° | ۳۵ | ۵,۴ | درصد وزنی ژئوفوم، مسلح شده با ژئوگرید | |
| ۱,۲۵۷ | ۲۲۵ | | | | |
| ۱,۰۸۴ | ۷۵ | | | نمونه‌ی ساخته شده با ماسه‌ی SP و ۰٪ | SP - ۰٪/EPS - GT |
| ۱,۰۶۴ | ۱۵° | ۳۰ | ۷,۱ | درصد وزنی ژئوفوم، مسلح شده با ژئوتکستیل | |
| ۱,۰۵۷ | ۲۲۵ | | | | |
| ۱,۱۴۰ | ۷۵ | | | نمونه‌ی ساخته شده با ماسه‌ی SP و ۰٪ | SP - ۰٪/EPS - GC |
| ۱,۱۳۴ | ۱۵° | ۳۲ | ۶,۱ | درصد وزنی ژئوفوم، مسلح شده با ژئوکامپوزیت | |
| ۱,۱۳۲ | ۲۲۵ | | | | |
| ۱,۲۰۰ | ۷۵ | | | نمونه‌ی ساخته شده با ماسه‌ی SP و ۰٪ | SP - ۰٪/EPS - GG |
| ۱,۲۱۰ | ۱۵° | ۳۳ | ۷,۲ | درصد وزنی ژئوفوم، مسلح شده با ژئوگرید | |
| ۱,۲۱۴ | ۲۲۵ | | | | |
| ۱,۰۱۸ | ۷۵ | | | نمونه‌ی ساخته شده با ماسه‌ی SP و ۰٪ | SP - ۰٪/EPS - GT |
| ۰,۹۹۰ | ۱۵° | ۲۷ | ۹,۲ | درصد وزنی ژئوفوم، مسلح شده با ژئوتکستیل | |
| ۰,۹۸۰ | ۲۲۵ | | | | |
| ۱,۰۷۳ | ۷۵ | | | نمونه‌ی ساخته شده با ماسه‌ی SP و ۰٪ | SP - ۰٪/EPS - GC |
| ۱,۰۵۹ | ۱۵° | ۲۹ | ۸,۴ | درصد وزنی ژئوفوم، مسلح شده با ژئوکامپوزیت | |
| ۱,۰۵۴ | ۲۲۵ | | | | |

- (خاک SP)، جهت حصول ظرفیت باربری بیشینه، معادل ۲٪ به دست آمده است.
۷. در مخلوط‌های ماسه و ژئوفوم - ژئوستیک، قوی‌ترین اتصال (بالاترین ضربه اندرکنش)، در نمونه‌های مسلح شده با ژئوگرد، سپس در نمونه‌های مسلح شده با ژئوکامپوزیت و پس از آن در نمونه‌های مسلح شده با ژئونکستابل ایجاد شده است.
۸. در مخلوط‌های ماسه و ژئوفوم - ژئوگرد، بیشترین ضربه اندرکنش، در درصد اختلاط ژئوفوم ۰٪ و سپس درصد اختلاط ۲٪ به دست آمده است.

از خاکریزی هستند و از لحاظ سبکی (معمولًا وزن ژئوفوم، ۵۰ تا ۱۰۰ برابر کمتر از خاک است) و سختی مصالح، تاکمن رایج‌ترین نوع مصالح سبک وزن استفاده شده بوده است. با توجه به وزن فوق العاده سبک و سختی ژئوفوم، کمینه‌ی تنفس‌های قائم و جانبی را اعمال می‌کند و در نتیجه، موجب کاهش قابل توجه نشست‌ها، پخش کردن بارهای متربک، کمینه‌سازی بارهای جانبی در دیوارهای حائل، تأمین حداقل بارهای شیب و احجام بزرگ «خاکریز» (یعنی سدهای خاکی، خاکریزهای شیب) بدون اضافه کردن هرگونه نتش «واقعی» می‌شود.

۹. در پژوهش حاضر، مقدار بهینه‌ی ژئوفوم در اختلاط با ماسه‌ی ۱۶۱ فیروزکوه

پانوشت‌ها

1. passive
2. Liu
3. Tanchaisawat
4. Tuna
5. Altun
6. Denine
7. Toyoura sand
8. EPS

منابع (References)

1. Padade, A. and Mandal, J. "Interface strength behavior of expanded polystyrene EPS geofoam", *Int. J. Geotech. Eng.*, **8**(1), pp. 66-71 (2014).
2. Arjomand, M.A. and Darsi, S. "Investigation of soil-geogrid interaction by using direct shear and pullout tests", 8th National Congress on Civil Engineering, Noshirvani University of Technology, Faculty of civil engineering Babol, Iran, pp. 1-8 (In Persian) (2014).
3. Abdi, M.R., Arjomand, M.A. and Siavoshnia, M. "Effect of tensile strength on soil-geogrid interaction", 5th National Congress of Civil Engineering, Mashhad, Iran, pp. 1-8 (In Persian) (2010).
4. Liu, C., Zornberg, J.G., Chen, T.C., Ho, Y.H. and et al. "Behavior of geogrid-sand Interface in direct shear mode", *Journal of Geotechnical and Geoenvironmental Engineering, ASCE*, **135**(12), pp. 1863-1867 (Dec., 2009).
5. Tanchaisawat, T., Bergado, D.T., Voottipruex, P. and Shehzad, K. "Interaction between geogrid reinforcement and tire chip-sand lightweight backfill", *Geotextiles and Geomembranes Journal*, **28**(1), pp. 119-127 (2010).
6. Tuna, S.C. and Altun, S. "Mechanical behaviour of sand-geotextile interface", *Scientia Iranica (Transactions A: Civil Engineering)*, **19**(4), pp. 1044-1051 (2012).
7. Abdi, M. and Etefagh, M. "The effect of soil particle size and reinforcement aperture size on the soil-geogrid interaction", *Journal of Experimental Research in Civil Engineering*, **1**(1), pp. 57-64 (In persian) (2014).
8. Denine, S., Della, N., Muhammed, R.D. and et al. "Effect of geotextile reinforcement on shear strength of sandy soil: Laboratory study", *Studia Geotechnica et Mechanica*, **38**(4), pp. 3-13 (2016).
9. Abedi, M.M., Arjomand, M.A. and Hajiannia, A. "Study of the effect of geotextile on increasing of shear strength and bearing capacity of clay soil reinforced by geogrid and investigation of their correlation", *Journal of Science and Engineering Elites*, **2**(1), pp. 216-223 (In Persian) (2017).
10. Alaie, R. and Jamshidi Chenari, R. "Cyclic and post-cyclic shear behaviour of interface between geogrid and EPS beads-sand backfill", *KSCE Journal of Civil Engineering*, **22**(9), pp. 3340-3357 (2018).
11. Mahbubi Motlagh, N. and Mahbubi Ardakani, A.R. "Evaluation of the effect of adding lime to shear strength parameters of clay -geosynthetic interface", *Scientific Quarterly Journal, Geosciences*, **27**(108), pp. 281-292 (In Persian) (2018).
12. Abdi, M.R. and Asgardun, Y. "Evaluation of the effects of reinforced or stabilized coarse surface layer on bearing capacity of soft clays", *Journal Civ. Env. Eng*, **49.3**(96), pp. 97-106 (2019).
13. Mohammadjafari, M. and Yazdi, M. "Effect of mixing geofoam beads and soil on shear strength parameters of sandy soil using direct shear test", *Journal of Engineering Geology*, **14**(1), pp.133-148 (In Persian) (2020).
14. ASTM D5321-02, "Standard test method for determining the coefficient of soil and geosynthetic or geosynthetic and geosynthetic friction by the direct shear method", American Society of Testing and Materials, West Conshohocken, Pennsylvania, USA, pp. 1-7 (2002).
15. ASTM-D5321/D5321M-14, "Standard test method for determining the shear strength of soil-geosynthetic and geosynthetic-geosynthetic interfaces by direct shear", ASTM International, Provided by IHS under license with ASTM, pp. 1-11 (2014).

16. Ministry of Roads and Urban Development Deputy for Housing and Construction, National building code, Part 7: Foundation, Iran development publisher, Tehran, Iran (2013).
17. Jarret, P.M. and Bathurst, R.J. "Frictional development at a gravel geosynthetic peat interface", *Proc., 2nd Canadian Symp. Of Geotextiles and Geomembranes*, Edmonton, Canada, pp. 1-6 (1985).
18. Cancelli, A., Rimoldi, P. and Togni, S. "Frictional characteristics of geogrids by means of direct shear and pullout tests", *Proc., Int. Symp. on Earth Reinforcement Practice, Kyushu Univ*, Fukuoka, Japan, pp. 51-56 (1992).
19. Cazzuffi, D., Picarelli, L., Ricciuti, A. and Rimoldi, P. "Laboratory investigations on the shear strength of geogrid reinforced soils", *ASTM Spec. Tech. Publ.* **1190**, pp. 119-137 (1993).
20. Bauer, G.E. and Zhao, Y. "Evaluation of shear strength and dilatancy behavior of reinforced soil from direct shear tests", *ASTM Spec. Tech. Publ.* **1190**, pp. 138-157 (1993).
21. Athanasopoulos, G.A. "Results of direct shear tests on geotextile reinforced cohesive soil", *Geotextiles and Geomembranes*, **14**(11), pp. 619-644 (1996).
22. Tatlisoz, N., Edil, T.B. and Benson, C.H. "Interaction between reinforcing geosynthetics and soil-tire chip mixtures", *Journal of Geotechnical and Geoenvironmental Engineering*, **124**(11), pp. 1109-1119 (1998).
23. Abu-Farsakh, M., Coronel, J. and Tao, M. "Effect of soil moisture content and dry density on cohesive soil-geosynthetic interactions using large direct shear tests", *Journal of Materials in Civil Engineering*, **19**(7), pp. 540-549 (2007).
24. Liu, Ch.-N., Zornberg, J.G., Chen, T-Ch. and et al. "Behavior of geogrid-sand interface in direct shear mode", *Journal of Geotechnical and Geoinviromental Engineering*, **135**(12), pp. 1863-1871 (2009).
25. Abdi, M.R. and Arjomand, M.A. "Feasibility study of improving clay-geogrid interaction by using thin layers of sand", *Civil Engineering Journal of Ferdowsi University of Mashhad*, **21**(2), pp. 85-100 (In Persian) (2010).
26. Infante, D.J., Martinez, G.M., Arrua, P.A. and et al. "Shear strength behavior of different geosynthetic reinforced soil structure from direct shear test", *International Journal of Geosynthetic and Ground Eng.*, **2**(17), pp. (2016).
27. Abdi, M.R., Safdari, Sh. and Gonbad ,M. "Studying the effect of roughness on soil-geotextile interaction in direct shear test", *journal of engineering geology*, **12**(5), pp. 1-30 (2018).